

B. Partie mécaniqueI. Etude géométrique:

Question B I 1 - M. q e_i est une suite arithmétique, en déduire L_i la longueur correspondant à i tours en $f^{ct}(i, e, e_1)$.

$$* \quad s_2 = s_1 + e, \quad s_3 = s_1 + 2e, \dots \quad \boxed{s_i = s_1 + (i-1)e}$$

$$* \quad L_i = 2\pi \sum_{i=1}^i s_i = 2\pi \sum (s_1 + i e - e)$$

$$= 2\pi \left(i s_1 - i e + e \underbrace{\sum_{i=1}^i i}_{\frac{i}{2}(1+i)} \right)$$

$$\boxed{L_i = 2\pi i \left(s_1 - \frac{e}{2} + \frac{e \cdot i}{2} \right)}$$

Question B I 2 - Calculer la longueur L_{EACB} puis L_{BD} (fig 6b).

$$\bullet \quad L_{EACB} = EA + AC + CB = f + 2AC$$

$$\text{or} \quad AC = \frac{h}{\cos \alpha_0} \Rightarrow \boxed{L_{EACB} = f + \frac{2 \cdot h}{\cos \alpha_0}}$$

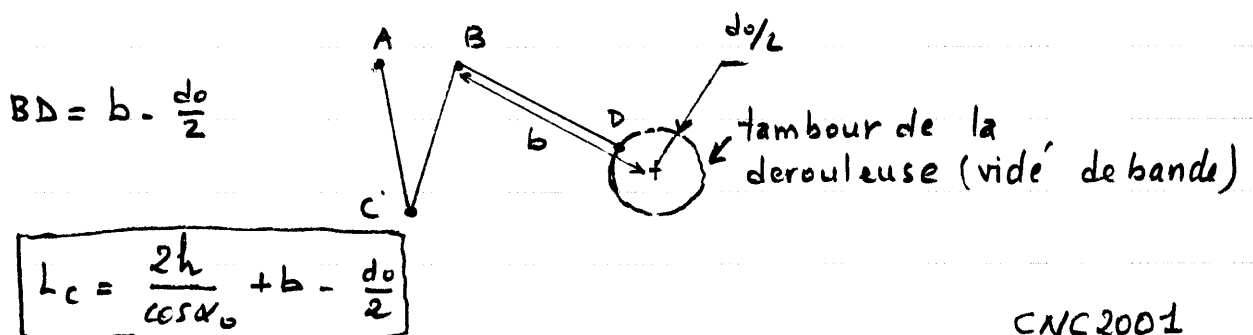
$$\bullet \quad \boxed{L_{BD} = BD = \sqrt{b^2 - r_2^2}}$$

$$d_2 = 2r_2$$

Question B I 3 - Calculer $L_c = ACBD$ (bande totalement déroulée).

$$L_c = 2AC + BD = \frac{2h}{\cos \alpha_0} + BD$$

Quand la bande est totalement déroulée on aura le schéma suivant. (la bande est sectionnée en A).



Question BI4 donner r_2 en $f^c(\varphi)$ sachant que r_e varie linéairement

et que $r_2 = \frac{D}{2}$ pour $\varphi = 0$

En déduire le moment d'inertie $J_2(\varphi) \dots$

* variation linéaire: $r_2 = k \cdot \varphi + k_0$ (k, k_0 : constantes) à déterminer

• $\varphi = 0$ pour $r_2 = \frac{D}{2} \Rightarrow k_0 = \frac{D}{2}$

• $\varphi = 2\pi$ pour $r_2 = \frac{D}{2} - e \Rightarrow \frac{D}{2} - e = k \cdot 2\pi + \frac{D}{2}$

$\Rightarrow k = -\frac{e}{2\pi}$

d'où $r_2(\varphi) = -\frac{e}{2\pi} \cdot \varphi + \frac{D}{2}$

* $J_2(\varphi) = \frac{1}{2} m \cdot r_2^2$ et $m = \rho \cdot \pi \cdot r_2^2 \cdot w$

$\Rightarrow J_2(\varphi) = \frac{1}{2} \pi \cdot \rho \cdot w \cdot r_2^4$

$J_2(\varphi) = \frac{1}{2} \pi \cdot \rho \cdot w \cdot \left(-\frac{e}{2\pi} \cdot \varphi + \frac{D}{2}\right)^4$

Question BI5: Calculer l'énergie cinétique de la bande en supposant la bande sur la dérouleuse comme un cylindre de diamètre d_2 .

Bande = (cylindre de diamètre d_2) + (BD) + (BC) + (AC) + (EA) + (EF)

$E_c = E_{c_1} + E_{c_2}$

$= \frac{1}{2} J_2 \cdot \dot{\varphi}^2 + E_{c_2}$ ($E_{c_2} = E_c$ des portions BD, BC, AC, EA et EF)

$dE_{c_2} = \frac{1}{2} dm \cdot V^2$

$V =$ vitesse du point matériel de masse dm et d'énergie cinétique dE_c . La bande étant supposée inextensible; $V =$ constante sur la portion ② = DBCAEF.

$V = V_A = \frac{d_2}{2} \cdot \dot{\varphi}$

$\int_D^F dE_{c_2} = \frac{1}{2} V^2 \int_D^F dm$

$E_{c_2} = \frac{1}{2} \cdot \frac{d_2^2}{4} \cdot \dot{\varphi}^2 \left[m_{BD} + m_{BC} + m_{AC} + m_{AE} + m_{EF} \right]$

$= \frac{d_2^2 \cdot \dot{\varphi}^2}{8} \left[\rho \cdot e \cdot w \left(BD + BC + AC + AE + EF \right) \right]$

$E_{c_2} = \rho \cdot e \cdot w \cdot d_2^2 \cdot \dot{\varphi}^2 \cdot \frac{1}{8} \left(l + \frac{2h}{\cos \alpha_0} + \sqrt{b^2 - r_2^2} + \frac{d_1}{2} \cdot \theta_1 \right)$

$$\Rightarrow E_{c2} = f.e.w. \frac{r_2^2}{2} \dot{\varphi}^2 \left(f + \frac{2h}{\cos \alpha_0} + \sqrt{b^2 - r_2^2} + \frac{d_1}{2} \cdot \theta_1 \right)$$

$$\text{d'où } E_c = \frac{1}{2} \dot{\varphi}^2 \left[J_2 + f.e.w. r_2^2 \left(f + \frac{2h}{\cos \alpha_0} + \sqrt{b^2 - r_2^2} + \frac{d_1}{2} \cdot \theta_1 \right) \right]$$

II - Etude cinématique :

Question B.II.1 : pour chacune des durées t_{a1} , t_{p1} , t_{d1} et t_c donner la nature du mouvement de rotation de l'enrouleuse.

t_{a1} : mvt de rotation uniformément accéléré.

t_{p1} : mvt de rotation uniforme.

t_{d1} : mvt de rotation uniformément décéléré.

t_c : pas de mouvement (attente = repos).

Question B.II.2 : Calculer les angles θ_{p1} , θ_{a1} et θ_{d1} en f^{ct} (w_{max} , a , t_{p1}).

intégrale d'une f^{ct} = aire sous la courbe

$$\text{Or } w(t) = \dot{\theta}(t) \Rightarrow \theta(t) = \int w(t) \cdot dt$$

θ_{a1} = aire du 1^{er} triangle ($\Delta\theta_{a1}$)

$$\theta_{a1} = \frac{1}{2} \cdot w_{max} \cdot t_{a1}$$

$$\theta_{p1} = w_{max} \cdot t_{p1} \quad (\hat{m} \text{ chose})$$

$$\theta_{d1} = \frac{1}{2} \cdot w_{max} \cdot t_{d1} \quad ('' \quad)$$

$$\text{Or : zone 1} \Rightarrow w_{max} = a t_{a1} \Rightarrow t_{a1} = \frac{w_{max}}{a} = t_{d1}$$

$$\text{d'où } \boxed{\theta_{p1} = w_{max} \cdot t_{p1}} \quad \text{et } \theta_{a1} = \frac{w_{max}}{2} \cdot t_{a1} = \frac{w_{max}^2}{2 \cdot a} = \theta_{d1}$$

$$\boxed{\theta_{a1} = \theta_{d1} = \frac{w_{max}^2}{2 \cdot a}}$$

Question B.II.3 : Donner t_{p1} en f^{ct} (w_{max} , a , θ_1), en déduire la condition sur θ_1 pour avoir la loi trapézoïdale au lieu d'une loi triangulaire.

$$\begin{aligned} \theta_1 &= \theta_{a1} + \theta_{p1} + \theta_{d1} = \theta_{p1} - 2 \cdot \theta_{d1} \\ &= w_{max} \left(t_{p1} + \frac{w_{max}}{a} \right) \end{aligned}$$

$$\Rightarrow \boxed{t_{p1} = \frac{\theta_1}{w_{max}} - \frac{w_{max}}{a}}$$

Condition pour ne pas avoir une loi triangulaire :

il faut que la durée t_{p1} soit $\neq 0 \Rightarrow t_{p1} \neq 0$

$$\Rightarrow \boxed{\theta_1 \neq \frac{\omega_{max}^2}{a}}$$

Question B.II.4: M.q: $T_e = t_c + \frac{2 \cdot \omega_{max}}{a} + \frac{\theta_1 + \theta_2}{\omega_{max}}$. Pour quelle valeur ω_{op} de ω_{max} , la durée $T_e - t_c$ est-elle minimale?
verifier l'application numérique.

$$\begin{aligned} * T_e &= 2t_{a1} + t_{p1} + t_c + 2t_{a2} + t_{p2} \\ &= \frac{2\omega_{max}}{a} + \frac{\theta_1}{\omega_{max}} - \frac{\omega_{max}}{a} + t_c + \frac{2\omega_{max}}{a} + \frac{\theta_2}{\omega_{max}} - \frac{\omega_{max}}{a} \end{aligned}$$

$$\boxed{T_e = t_c + \frac{2\omega_{max}}{a} + \frac{\theta_1 + \theta_2}{\omega_{max}}}$$

$$* T_e - t_c = \frac{2\omega_{max}}{a} + \frac{\theta_1 + \theta_2}{\omega_{max}} \quad (a \text{ et } \theta_1 \text{ fixes})$$

$$\frac{d}{d\omega_{max}} (T_e - t_c) = \frac{2}{a} - (\theta_1 + \theta_2) \cdot \frac{1}{\omega_{max}^2} \quad \text{qui admet un extremum si elle est nulle}$$

$$\Rightarrow \frac{2}{a} - \frac{\theta_1 + \theta_2}{\omega_{op}^2} = 0 \Rightarrow \boxed{\omega_{op} = \sqrt{\frac{a}{2} (\theta_1 + \theta_2)}}$$

* AN.

• Enroulement monotour \rightarrow 1 tour $\Rightarrow \theta_1 + \theta_2 = 2\pi$ (cdcf fig 4, page 10)

θ_1 : enroulement avant la coupe

θ_2 : " après decoupage de la bande

$$\begin{aligned} \bullet \gamma_{max} &= \dot{\omega}_{max} \cdot R_{tamb} \Rightarrow \\ &= a \cdot R_{tambour} \end{aligned}$$

γ : accelerat. lineaire m/s^2

$a = \dot{\omega}$: accelerat. angulaire (rd/s^2)

$$\Rightarrow a = \frac{\gamma_{max}}{R_t} = \frac{3}{0,3} = 10 \text{ rd/s}^2$$

$$\omega_{op} = \sqrt{10\pi} = 5,6 \text{ rd/s}$$

$$\bullet \text{durée d'enroulement} = T_e - t_c = \frac{2 \cdot \omega_{op}}{a} + \frac{2\pi}{\omega_{op}} = 2,24 \text{ s}$$

Le cahier des charge (fig 4 page 10) donne t_c : durée de coupe: $\ll 0,5 \text{ s}$; et

T_e : durée enroulement + coupe $\leq 3 \text{ s}$

$$\text{d'où } T_e - t_c = 2,24 \ll 3 - 0,5 = 2,5 \text{ s}$$

Le cdcf (cahier des charge est satisfait.

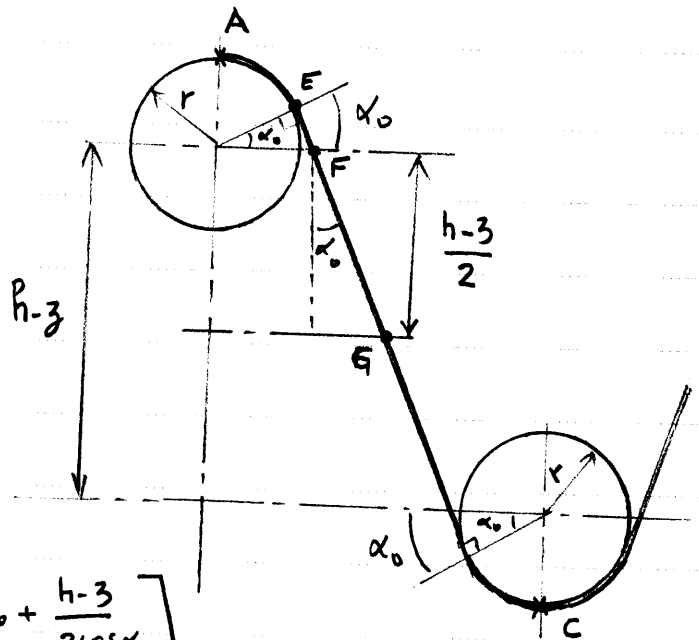
Question B.II.5: longueur L_{ACB} ? avec $\alpha = \alpha_0$

M.g: $\frac{dz}{dt} = \frac{1}{2} (r_1 \omega_1 - r_2 \omega_2) \cdot \cos \alpha_0$

* $L_{ACB} = 2 L_{AG}$

$L_{AC} = 2 L_{AG}$

$L_{AG} = \underbrace{AE}_{= r(\frac{\pi}{2} - \alpha_0)} + \underbrace{EF}_{= r \tan \alpha_0} + \underbrace{FG}_{= \frac{h-3}{2 \cos \alpha_0}}$



d'où

$L_{ACB} = 4 L_{AG} = 4 \left[r \left(\frac{\pi}{2} - \alpha_0 \right) + r \tan \alpha_0 + \frac{h-3}{2 \cos \alpha_0} \right]$

$L_{ACB} = 4 \left[r \left(\frac{\pi}{2} - \alpha_0 \right) + r \tan \alpha_0 + \frac{h-3}{2 \cos \alpha_0} \right]$

* $dL_B = r_2 d\theta_2 = r_2 \omega_2 \cdot dt$

$dL_A = r_1 \omega_1 \cdot dt$

* $dL_{ACB} = d \left(-\frac{2 \cdot z}{\cos \alpha_0} \right) = -\frac{2}{\cos \alpha_0} dz$

$dL_{ACB} = dL_B - dL_A \Rightarrow -\frac{2}{\cos \alpha_0} dz = r_2 \omega_2 dt - r_1 \omega_1 dt$

En divisant par dt on a: $\frac{dz}{dt} = (r_1 \omega_1 - r_2 \omega_2) \cdot \frac{\cos \alpha_0}{2}$

III - Etude dynamique.

Question B.III.1: Donner l'équation différentielle du mouvement du tambour en ω_1 .

* T.E.C appliqué au tambour seul

$\frac{d}{dt} \left[\frac{1}{2} (J_1 \omega_1^2) \right] = + C_{MR} \cdot \omega_1 - T_1 \cdot V$

$V = r_1 \cdot \omega_1$

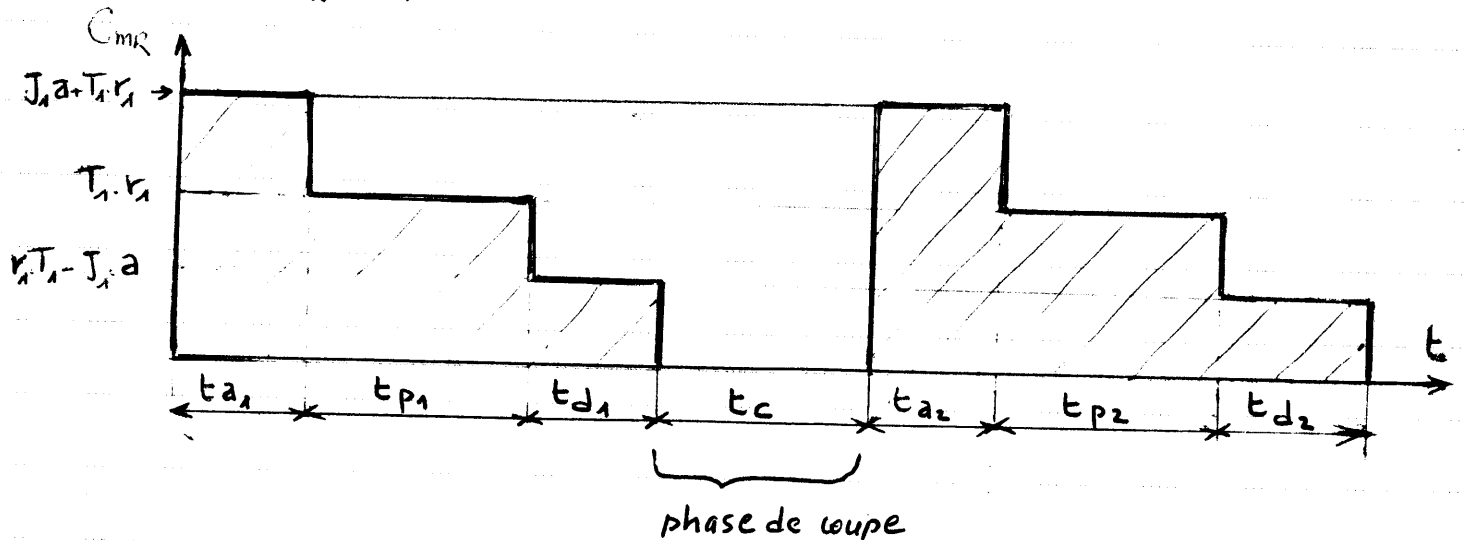
d'où

$J_1 \cdot \omega_1 \cdot \dot{\omega}_1 + C_{MR} \cdot \omega_1 + T_1 \cdot r_1 \cdot \omega_1 = 0$

$\Rightarrow J_1 \cdot \dot{\omega}_1 + C_{MR} + T_1 \cdot r_1 = 0$

$$* \quad C_{mR} = J_1 \dot{\omega}_1 + T_1 \cdot r_1 \quad \text{avec } \dot{\omega}_1 = a$$

$$C_{mR} = J_1 \cdot a + T_1 r_1$$



$$C_{mR} = 0 \text{ (enoncé)}$$

$$* \quad P_{m \text{ maxi}} = C_{mR \text{ maxi}} \cdot \omega_{\text{maxi}} = (J_1 \cdot a + T_1 \cdot r_1) \cdot \omega_{\text{maxi}}$$

Question B.III.2:

B.III.2.a: Calculer le moment d'inertie J_{e1} et le couple résistant C_R .

Soit Σ : ensemble (arbre moteur, reducteur, tambour).

$$T(\Sigma/0) = \frac{1}{2} J_{m1} \cdot \omega_{m1}^2 + \frac{1}{2} J_1 \omega_1^2 \quad \text{avec } \lambda_1 = \frac{\omega_{m1}}{\omega_1}$$

$$\Downarrow = \frac{1}{2} \left(J_{m1} + \frac{J_1}{\lambda_1^2} \right) \omega_{m1}^2 = \frac{1}{2} J_{e1} \cdot \omega_m^2$$

$$\Rightarrow \boxed{J_{e1} = J_{m1} + \frac{J_1}{\lambda_1^2}}$$

$$P(\vec{\Sigma} \rightarrow \Sigma) + P(\text{int} \Sigma) = C_{m1} \cdot \omega_{m1} - T_1 \cdot r_1 \cdot \omega_1 = \omega_{m1} \left(C_{m1} - \underbrace{T_1 \cdot \frac{r_1}{\lambda_1}}_{C_R} \right)$$

$$\boxed{C_R = T_1 \cdot \frac{r_1}{\lambda_1}}$$

B.III.2.b: Que devient l'équation de $m \dot{v}^t$ de l'enrouleuse ?

$$\underline{T.E.C} \text{ à } \Sigma \quad \frac{dT\Sigma}{dt} = P(\vec{\Sigma} \rightarrow \Sigma) + P(\text{int})$$

$$\frac{1}{2} \frac{d}{dt} (J_{e1} \cdot \omega_{m1}^2) = \omega_{m1} (C_{m1} - C_R)$$

$$\Rightarrow \boxed{J_{e1} \cdot \dot{\omega}_{m1} = C_{m1} - T_1 \cdot \frac{r_1}{\lambda_1}}$$

Question B. III.3 : le moment d'inertie de la poulie est négligé, Mq: $T_1 = T_2$.

* T.M.D à la poulie de ϕd en projection sur $(0, \vec{x})$

$$(T_1 - T_2) \cdot \frac{d}{2} = 0 \Rightarrow \boxed{T_1 = T_2}$$

* M.q: $T_1 = \frac{m \cdot g}{2 \cos \alpha_0} + \frac{m}{4} \left(r_1 \cdot \frac{\dot{\omega}_{m1}}{\lambda_1} - r_2 \cdot \frac{\dot{\omega}_{m2}}{\lambda_2} \right)$

T.R.D à $\Sigma_1 = (\text{poulie} + \text{contre poids})$ de masse m en proj / \vec{z}

$$m \vec{z} \cdot \vec{\Gamma}_{G/0} = \ddot{z} \cdot m = -m g + T_1 \cos \alpha_0 + T_2 \cos \alpha_0$$

avec $\ddot{z} = (r_1 \omega_1 - r_2 \omega_2) \frac{\cos \alpha_0}{2}$ (Question B.II.5)

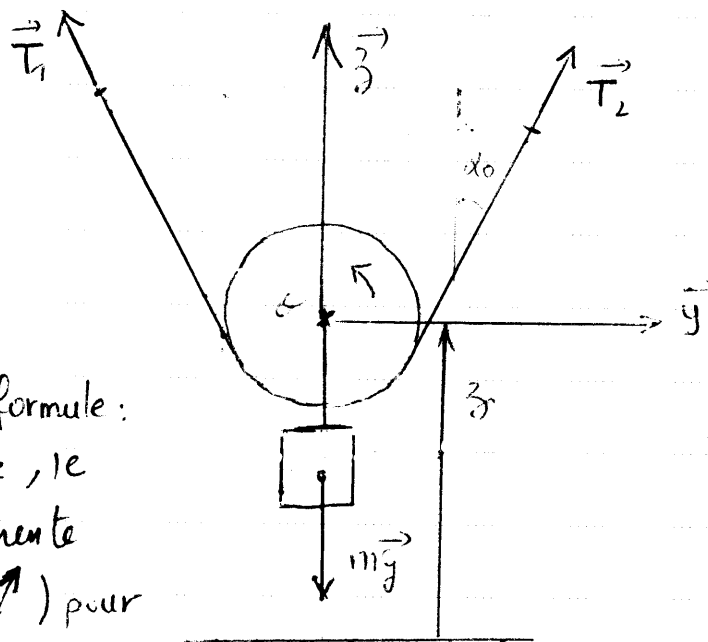
$$\ddot{z} = (r_1 \dot{\omega}_1 - r_2 \dot{\omega}_2) \cdot \frac{\cos \alpha_0}{2}$$

d'où $m (r_1 \dot{\omega}_1 - r_2 \dot{\omega}_2) \cdot \frac{\cos \alpha_0}{2} = -m g + T_1 (2 \cos \alpha_0)$

$$\boxed{T_1 = \frac{m \cdot g}{2 \cos \alpha_0} + \frac{m}{4} (r_1 \dot{\omega}_1 - r_2 \dot{\omega}_2)}$$

avec $\frac{\omega_{m1}}{\omega_1} = \lambda_1$ et $\frac{\omega_{m2}}{\omega_2} = \lambda_2$

d'où $T_1 = \frac{m \cdot g}{2 \cos \alpha_0} + \frac{m}{4} \left(r_1 \cdot \frac{\dot{\omega}_{m1}}{\lambda_1} - r_2 \cdot \frac{\dot{\omega}_{m2}}{\lambda_2} \right)$ C.Q.F.D.



d'après cette formule:
si T_1 augmente, le
moteur m_2 augmente
de vitesse ($\dot{\omega}_{m2} \uparrow$) pour
compenser l'augmentation
de T_1 .

C. Partie Automatique.

Question C.I.1: objectifs des modes d'asservissement de l'enrouleuse et la dérouleuse?

* Pour l'enrouleuse: on desire avoir une precision sur la coupe de la bande et sur la longueur enroulee sur le tambour (1) (car on ne veut pas de recouvrement)
 → C'est un asservissement de position (θ_1).

* Pour la dérouleuse: on desire avoir une tension constante sur la bande (eviter la traction de la bande).
 c'est un asservissement de vitesse $\dot{\omega}_{m2}$ (d'après la question precedente).

Question C.I.2: avec la relation de (Q. B. III-3) donner $H_0(P)$, $H_1(P)$ et $H_2(P)$

On a: $T_1 = \frac{mg}{2 \cos \alpha_0} + \frac{m}{4} \left(r_1 \cdot \frac{\dot{\omega}_{m1}}{\lambda_1} - r_2 \cdot \frac{\dot{\omega}_{m2}}{\lambda_2} \right)$ (Quest. B. III-3)

à la fig. 12: diagramme fonctionnel.

on a: $T_1(P) = \frac{mg}{P \cdot \cos \alpha_0} + \frac{m \cdot P}{4} \left(r_1 \cdot \frac{\Omega_{m1}(P)}{\lambda_1} - r_2 \cdot \frac{\Omega_{m2}(P)}{\lambda_2} \right)$

* $H_0(P) = 1/P$

* $H_1(P) = \frac{m \cdot r_1}{4 \lambda_1} \cdot P$

* $H_2(P) = \frac{m \cdot r_2}{4 \lambda_2} \cdot P$

Question C.I.3: $H_3(P)$, $H_4(P)$, $H_5(P)$, $H_6(P)$ et $H_7(P)$. (fig 13) et (B. III-2)

* (Q: B. III-2) → $J_{e1} \cdot \ddot{\omega}_{m1} = C_{m1} - T_1 \cdot \frac{r_1}{\lambda_1}$

d'où: $C_{m1}(P) - \frac{r_1}{\lambda_1} T_1(P) = J_{e1} \cdot P \cdot \Omega_{m1}(P)$

→ $H_7(P) = \frac{r_1}{\lambda_1}$ et $H_6(P) = \frac{1}{J_{e1} \cdot P}$

* equation du moteur à C.C. (M_1).

$U_1(P) = R_1 \cdot I_1(P) + L_1 \cdot P \cdot I_1(P) + E_1(P) \rightarrow H_3(P) = \frac{1}{R_1 + L_1 \cdot P}$

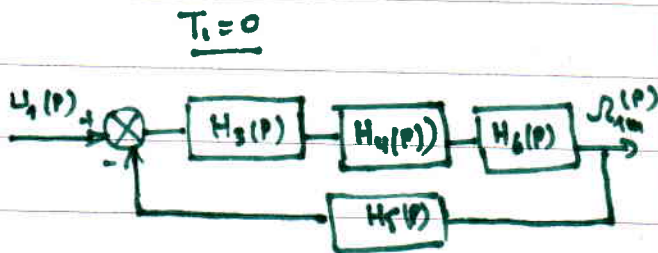
$E_1(P) = K_1 \cdot \Omega_{m1}(P) \rightarrow H_5(P) = K_1$

$C_{m1}(P) = K_1 \cdot I_1(P) \rightarrow H_4(P) = K_1$

Question C.I.4: Ecrire $\Omega_{m_1}(p) = A(p) \cdot U_1(p) + B(p) \cdot T_1(p)$

la stabilité vis à vis de la perturbation T_1 et de U_1 sont-elles équivalentes?

$$\Omega_{m_1}(p) = \underset{T_1=0}{A(p)} \cdot U_1(p) + \underset{U_1=0}{B(p)} \cdot T_1(p)$$

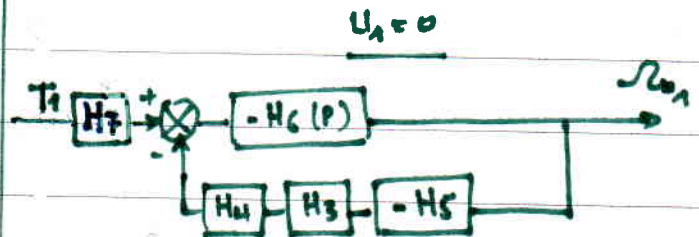


$$A(p) = \frac{H_3 \cdot H_4 \cdot H_6}{1 + H_3 \cdot H_4 \cdot H_5 \cdot H_6}$$

$$= \frac{K_1}{J\omega_n \cdot P(R_1 + L_1 \cdot P)}$$

$$1 + \frac{K_1^2}{J\omega_n \cdot P(R_1 + L_1 \cdot P)}$$

$$A(p) = \frac{K_1}{J\omega_n \cdot P(R_1 + L_1 \cdot P) + K_1^2}$$



$$B(p) = \frac{-H_6 \cdot H_7}{1 + H_3 \cdot H_4 \cdot H_5 \cdot H_6}$$

$$= -\frac{K_1}{\lambda_1 \cdot J\omega_n \cdot P}$$

$$= \frac{K_1^2}{1 + \frac{K_1^2}{J\omega_n \cdot P(R_1 + L_1 \cdot P)}}$$

$$B(p) = \frac{-\frac{K_1}{\lambda_1} (R_1 + L_1 \cdot P)}{J\omega_n \cdot P(R_1 + L_1 \cdot P) + K_1^2}$$

$A(p)$ et $B(p)$ ont le même polynôme caractéristique, elles ont les mêmes pôles donc : stabilités équivalentes.

Question C.I.5: proposer un modèle pour $G(p)$ (fig. 14b), MP? et MG?

Le lieu de la figure 14b (Bode) représente un système de 2^{ème} ordre avec intégrateur car :

- * la phase est tangente à -90° aux basses fréquences et (-20 dB/dec)
- * la phase est tangente à -180° aux hautes fréquences (et -40 dB/dec).

$$\Rightarrow G(p) = \frac{k}{P(1 + \tau \cdot p)}$$

$$\left\{ \begin{array}{l} |G(j\omega)| = \frac{k}{\omega \sqrt{1 + \tau^2 \cdot \omega^2}} \Rightarrow |G(j\omega)|_{dB} = 20 \log k - 20 \log \omega - 10 \log (1 + \tau^2 \cdot \omega^2) = \text{Gain}_{dB} \\ \arg(G(j\omega)) = -90^\circ - \arctg \tau \omega = \varphi^\circ \end{array} \right.$$

• pour $\varphi = -135^\circ \rightarrow \omega = \frac{1}{\tau} \Rightarrow$ courbe $\tau = \frac{1}{3} = 0,33 \text{ s}$

• pour $\omega = 1 \text{ rad/s} \rightarrow \text{Gain}_{dB} = k_{dB} - 10 \log (1 + \tau^2) \Rightarrow$ courbe $20 \log k - 10 \log (1 + \tau^2) \approx 9$

$$\Rightarrow 20 \log k \approx 9 + 10 \log \left(1 + \frac{1}{3^2}\right) = 9 + 10 \log \left(\frac{10}{3}\right) = 9 + 5,2287$$

$$\approx 14,228$$

$$\Rightarrow k \approx 10^{14,23/20} = 5,14$$

$$\boxed{k \approx 5,14}$$

$$\Rightarrow \boxed{G(p) \approx \frac{5,14}{p \left(1 + \frac{p}{3}\right)}}$$

* marge de gain $MG = +\infty$

* marge de phase $MP \approx 55,71^\circ$

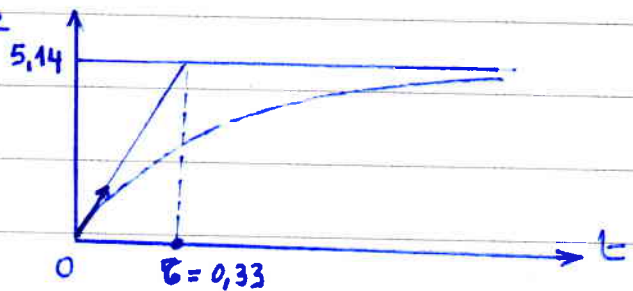
Question C.I.6: décomposer en éléments simples $G(p) = \frac{\theta_1(p)}{u_1(p)}$, en déduire la réponse impulsionnelle.

$$G(p) = \frac{k}{p(1+\tau p)} = k \left(\frac{1}{p} - \frac{1}{p + \frac{1}{\tau}} \right) = 5,14 \left(\frac{1}{p} - \frac{1}{p+3} \right)$$

$$s(t) \rightarrow \boxed{G(p)} \rightarrow \theta(t)$$

$$\boxed{\theta(t) = g(t) = 5,14 (1 - e^{-3t})}$$

la réponse impulsionnelle de $G(p)$ est la réponse indicielle du 1^{er} ordre $\frac{k}{1+\tau p} \rightarrow$ courbe



Question C.I.7: Calculer la FTBF $H(p) = \frac{\theta_1(p)}{\theta_2(p)}$, ses caractéristiques.

$$H(p) = \frac{G(p)}{1+G(p)} \quad (k_p = 1) \quad (\text{et fig 14.2}).$$

⚠ distinguer k et K

$$= \frac{k}{k + p(1+\tau p)} = \frac{1}{1 + \frac{p}{k} + \frac{\tau p^2}{k}} = \frac{K}{1 + \frac{2\tau}{\omega_n} p + \frac{p^2}{\omega_n^2}}$$

$$H(p) = \frac{1}{1 + \frac{p}{5,14} + \frac{p^2}{15,42}} = \frac{K}{1 + \frac{2\tau}{\omega_n} p + \frac{p^2}{\omega_n^2}}$$

$$\Rightarrow \boxed{K=1}, \quad \omega_n = \sqrt{\frac{k}{\tau}} = \sqrt{15,42} \Rightarrow \boxed{\omega_n = 3,92 \text{ rad/s}}$$

$$z = \frac{\omega_n}{2k} \Rightarrow \boxed{z = 0,39}$$

Question C.I.8: Calculer ϵ_s (erreur statique) et ϵ_T (de traînage).

* $\epsilon_s = 0$ car il y a une intégration dans la B.O.

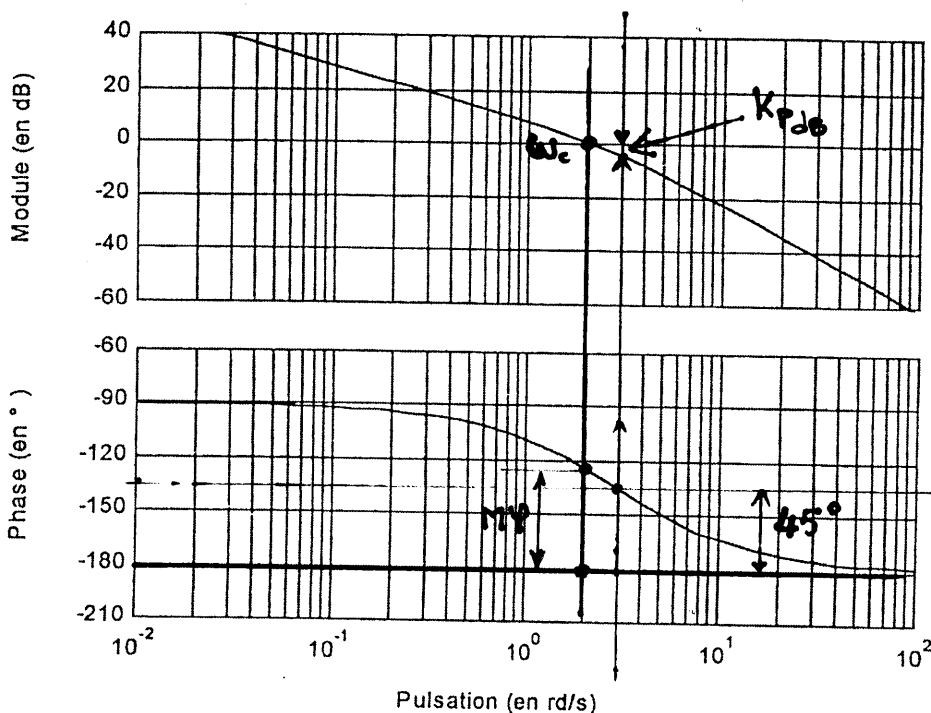
* $\epsilon_T = \frac{V_0}{k_{80}} \rightarrow$ (entée rampe = $V_0 t = t$) résultat du cours: $\frac{V_0}{k_{80}}$ (ou redémontrer)

$$= \frac{1}{k} = \frac{1}{5,14} \Rightarrow \boxed{\epsilon_T = 0,2}$$

Question C.I.9: K_p ? pour avoir $M\varphi = 45^\circ$ en deduire ϵ'_s et ϵ'_T

Remarque: K_p peut être retrouvé à partir de la courbe fig 146, ou par calcul, ce qui ne changera pas les résultats, puisque les erreurs graphiques de l'identification de $G(P)$ à Q.C.I.5 sont tjrs là.

* K_p graphiquement:



$$K_p \approx 4$$

$$\Rightarrow K_p \approx 10^{\frac{4}{20}} = 1,58$$

$$\boxed{K_p = 1,58}$$

* K_p par calcul

$$\left\{ \begin{array}{l} M\varphi = 180^\circ + \arg G(j\omega_c) = 45^\circ \\ |G(j\omega_c)| = 1 \end{array} \right\} \quad G(P) = \frac{K_p \cdot 5,14}{P(1 + \frac{P}{3})}$$

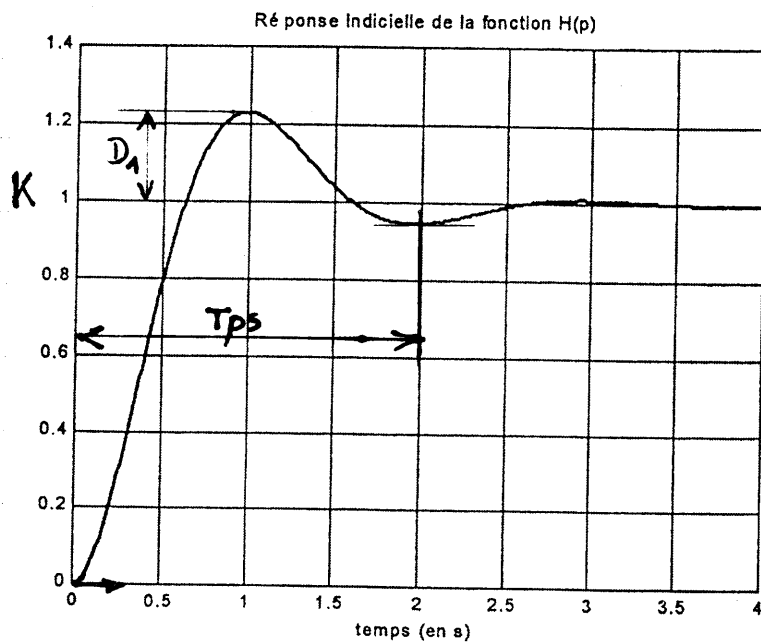
$$\Rightarrow \left\{ \begin{array}{l} \arctg \frac{\omega_c}{3} = 45^\circ \Rightarrow \omega_c = 3 \text{ rad/s} \\ 20 \log K_p + 20 \log 5,14 - 20 \log \omega_c - 10 \log \left(1 + \frac{\omega_c^2}{9}\right) = 0 \rightarrow K_p = \dots \end{array} \right.$$

On prends $\boxed{K_p = 1,58}$

* $\epsilon_s = 0$ (l'intégrateur est tjrs là, ds la B.O).

* $\epsilon_T = \frac{1}{k_{80}} = \frac{1}{5,14 \times 1,58} = 0,123$ $\boxed{\epsilon_T = 0,123}$

Question C.I.10. Courbe fig 15, identification.



Cette courbe représente un système (réponse indicielle) d'ordre supérieur à 1, car la tangente à l'origine est horizontale.

Si on l'assimile à un 2^{ème} ordre:

$$* d = \frac{D_1}{K} = 0,23 = e^{\frac{-\pi \cdot z}{\sqrt{1-z^2}}} \Rightarrow z = 0,42$$

$$* T_{ps} = \text{pseudo-période} = \frac{2\pi}{\omega_{ps}} = 2 \text{ s}$$

$$= \frac{2\pi}{\omega_n \sqrt{1-z^2}} \Rightarrow \omega_n = 3,46 \text{ rad/s}$$

$$* K = 1$$

$$\Rightarrow H(p) = \frac{K}{1 + \frac{2 \cdot z}{\omega_n} p + \frac{p^2}{\omega_n^2}}$$

$$H(p) = \frac{1}{1 + 0,24 p + 0,08 p^2}$$

Question C.I.11:

L'augmentation de K_p diminue la marge de phase, et améliore la précision de vitesse ($E_T \downarrow$)

augmenter k_{B0} induit ds le cas général.

- diminution (dégradation) de la stabilité
- amélioration de la précision
- " de la rapidité

D. PARTIE MODELISATION PAR GRAFCET

Question D.I.1 : donner les 5 règles du grafcet.

Règle 1 : la situation initiale caractérise le comportement initial, elle correspond aux étapes actives au début ou au repos.

Règle 2 : Le franchissement d'une transition se fait si

- la transition est validée
- la réceptivité associée est vraie

Règle 3 : le franchissement d'une transition entraîne immédiatement : - l'activation de toutes les étapes immédiatement suivantes

- La désactivation de toutes les étapes immédiatement précédentes.

Règle 4: plusieurs transitions simultanément franchissables sont simultanément franchies.

Règle 5: si une étape doit être activée et désactivée en même temps, alors elle reste active.

Question D.I.2:

les étapes qui seront actives après l'étape 8 et si $\overline{m_{ep}} \cdot a_p = 1$ sont:

- étape 8
- étape 1.

Question D.I.3:

durée du cycle: 5,3 s

Question D.I.4:

les étapes 1 et 10 sont actives et $a_p = 0$: alors:

- si ($m_{ep} = 1$) m enveloppes sont déjà produites alors, la machine s'arrêtera à la situation (0,1) → étapes 0 et 1.
- si ($\overline{m_{ep}} = 1$) m enveloppes ne sont pas encore produites, alors la machine continuera jusqu'à l'étape (8) et s'arrêtera.